

بِسْمِ اللَّهِ الرَّحْمَنِ الرَّحِيمِ

# دانشکده پژوهشی

دانشکده علوم

پایان نامه دکترای شیمی  
(گرایش معدنی)

عنوان:

- ۱- سنتز متالوفتالو سیانینها با استفاده از امواج میکروویو
- ۲- سینتیک و مکانیسم اپو اکسید اسیون بوسیله آهن فتالو سیانین
- ۳- اثر استخلاف روی واکنش هیدروکسیلاسیون آرماتیکها  
کاتالیز شده با آهن پرفیرین

نگارش: فرزاد بهادران

۱۳۸۶/۰۷/۲۸

استاد راهنما: آقای دکتر ناصر صفری

۱۳۸۶/۰۷/۲۸

استاد مشاور: آقای دکتر احمد شعبانی

تیرماه ۱۳۸۶

۷۹۸۹

با تشکر از معاونت پژوهشی و دانشکده علوم  
دانشگاه شهید بهشتی  
یخاطر حمایتهای مالی از این رساله

## تشکر و قدردانی

### حمد و سپاس خدای را که به من خدمت آموختن عطا فرمود

اینک که در پرتو عنایت خداوند سبحان توانسته ام یکی دیگر از مراحل تحصیلی خود را پشت سر بگذارم بر خود لازم می داشم از کسانی که در این راه همراه هم قدم و یاور من بوده اند قدردانی نمایم. بعد از نگاههای پر مهر مادر و دست های گرم پدر که همیشه همراه من بودند از استاد راهنمای گرامی جناب آقای دکتر ناصر صفری که نه تنها به عنوان استاد بلکه به عنوان یک دوست و برادر در تمام دوران تحصیل همراه و هم کلام من بودند و شاید درس های اخلاقی و اجتماعی که من از ایشان آموختم کمتر از آموخته های علمی ام نباشد، کمال تشکر و سپاسگزاری را دارم.

از جناب آقای دکتر احمد شعبانی که به عنوان استاد مشاور از راهنماییها و مساعدتهای ایشان بهره می بردم تشکر و قدردانی می کنم.

همچنین مراتب تشکر و سپاسگزاری خود را از پروفسور A. B. P. Lever که به مدت ۹ ماه حضور خود در دانشگاه یورک کانادا از امکانات و تجربیاتشان بهره برده ام اعلام می دارم.

از اساتید محترم جناب آقایان دکتر امیرنصر، دکتر مهاجر، دکتر پورامینی و دکتر سیدسجادی که به عنوان ممتحن زحمت داوری و حضور در جلسه دفاعیه و بازخوانی پایان نامه را بر عهده داشته اند کمال تشکر و سپاسگزاری را دارم.

کما ملاً مشخص است که رسیدن به این مرحله کار یک فرد نبوده بلکه حاصل زحمات کلیه معلمین و اساتیدی است که توانسته ام طی هر دوره تحصیلی از محضر ایشان بهره ببرم بنابراین از کلیه آنها مخصوصاً اساتید دانشگاهیم در دانشگاه صنعتی اصفهان و دانشگاه شهید بهشتی تشکر و قدردانی می کنم.

از همکاری پرسنل محترم دانشکده علوم، گروه شیمی، فیزیک، مرکز تحقیقات شیمی و تحصیلات تكمیلی دانشگاه شهید بهشتی که تمام دوران تحصیل کمال همکاری را داشته اند بسیار سپاسگزارم.

با تشکر از کلیه دوستان خوبم جناب آقای دکتر جدیدی، دکتر مهرداد، دکتر ناطقی، دکتر صرافی، دکتر سراجی، دکتر نیک پور، دکتر صفائی، ایوب بازگیر، عبدالرضا امیر احمدی، داریوش غلام زاده، رسول نصیری، حمید محمدیان، حمید رضا خواصی، علیرضا کریمی، محمد باقر تیموری، رضا غیاثی، محمد رضا حسین زاده، عباسعلی صمدی و خانمها شریفی و جماعت و بسیاری از دوستان که در اینجا مجال نام آنها نیست و شاید بدون حضور آنها و لطف و صفائی که در محیط دروان تحصیلی ایجاد کردند تحمل این دوران بسیار سخت می گشت.

تقدیم به عزیزانم

پدر، مادر و برادرم

و تقدیم به روح پاک برادرم

با توجه به اهمیت فتالوسیانینها در زمینه‌های مختلف، روش جدیدی جهت سنتر متالوفتالوسیانینهای Cu, Pd, Pt, Ru, Co, Ni, Fe, Mn, و همچنین مشتقات نیترو و سولفور آنها با استفاده از تابش امواج میکروویو در شرایط خشک و رفلaks (با یک آون میکروویو اصلاح شده) گزارش شده است.

آهن فتالوسیانین به عنوان کاتالیست اپو اکسیداسیون آلکن‌ها با آیدوزیل بنزن مورد بررسی قرار گرفته است. در یک سینتیک رقابتی ثابت‌های سرعت نسبی برای آلکن‌ها در مقایسه با دی‌فنیل بوتادیان در یک واکنش درجه‌اول محاسبه شده است. خطی بودن نمودارهای لگاریتم سرعت نسبی در مقابل پتانسیل یونیزاسیون (IP) و پتانسیل اکسیداسیون ( $E_{1/2}$ ) به عنوان دلیلی بر تولید رادیکال کاتیون آلکن بیان شده است. در این بررسی با توجه به مشاهدات، دی کاتیون فتالوسیانین آهن (III) اکسید به عنوان گونه فعال برای این واکنشها معرفی شده است. همه نتایج شباهت کامل آهن فتالوسیانین و آهن پرفیرین را در اپو اکسیداسیون نشان داده و آهن فتالوسیانین به عنوان مدل آنزیم سیتو کرم P-450 معرفی شده است.

ترکیب ۲،۶-دی‌کلروفنیل پرفیرین و متاکلروپربنزوئیک اسید جهت هیدروکسیلاسیون ترکیبات آروماتیک بکار رفته است. سرعت نسبی اکسایش این ترکیبات نسبت به دی‌فنیل بوتادیان به عنوان سوبسترای شاهد در یک روش سینتیکی جدید مرتبه صفر محاسبه شد است و رسم نمودار هامت برای لگاریتم سرعتهای نسبی، نشان میدهد که واکنش به احتمال زیاد از یک مکانیسم رادیکالی تبعیت می‌کند.

# فهرست

صفحه		فهرست مطالب
ج	.....	فهرست شکلها
ر	.....	فهرست جداول
ز	.....	فهرست مخففها

## بخش تئوری

### ۱- فتالوسیانینها

۱	.....	۱-۱ تاریخچه
۳	.....	۲-۱ خواص فیزیکی و خصوصیات طیفی فتالوسیانینها
۹	.....	۳-۱ روشاهای سنتز و مکانیسم
۱۲	.....	۴-۱ روشاهای خالص سازی
۱۲	.....	۵-۱ کاربرد

### ۲- سیتوکرم P-۴۵۰ و مدل‌های آن

۱۴	.....	۱-۲ سیتوکرم ها
۱۵	.....	۲-۱ سیتوکرم P-۴۵۰
۱۷	.....	۳-۲ چرخه کاتالیزوری آنزیم سیتوکرم P-۴۵۰

۱۹	.....	۴-۲ پرفیرینها
۲۰	.....	۵-۲ اهمیت مدل سازی آنریم
		<b>۳- میکروویو</b>
۲۲	.....	۳-۱ تاریخچه میکروویو
۲۳	.....	۳-۲ محدوده امواج میکروویو
۲۳	.....	۳-۳ مکانیسم انتقال حرارت توسط امواج میکروویو
۲۴	.....	۳-۴ محیط مناسب برای واکنشهای شیمیایی
۲۴	.....	۳-۵ آونهای میکروویو
		<b>۴- مکانیسم و انرژی آزاد خطی</b>
۲۷	.....	۴-۱ مکانیسم
۲۸	.....	۴-۲ روابط انرژی آزاد خطی

## بخش تجربی

### ۱- سنتز فتالوسیانینها با استفاده از امواج میکروویو

۳۱	.....	۱-۱ مقدمه
۳۲	.....	۲-۱ مواد و دستگاههای مورد نیاز
۳۲	.....	۳-۱ روش کار
۳۲	.....	۱-۳-۱ سنتز پالادیم (و پلاتین) فتالوسیانین به روش خشک .....
۳۳	.....	۲-۳-۱ سنتز روتینیم فتالوسیانین به روش خشک

۳۳	۱-۳-۳ سنتز متالوفتالوسیانینها با فتالونیتریل به روش خشک ...
۳۳	۱-۳-۴ سنتز متالوتراسولفوفتالوسیانینها به روش خشک .....
۳۴	۱-۳-۵ سنتز متالوتراسولفوفتالوسیانینهابه روش رفلاکس .....
۳۵	۱-۳-۶ سنتز متالوترازیتروفتالوسیانینها به روش خشک .....
۳۵	۱-۳-۷ سنتز متالوترازیتروفتالوسیانینهابه روش رفلاکس .....
۳۶	۱-۴ نتایج و بحث .....
<b>۲- مکانیسم اپواکسیداسیون بوسیله فتالوسیانین آهن</b>	
۴۴	۱-۲ مقدمه .....
۴۵	۲-۲ مواد و دستگاههای مورد نیاز .....
۴۶	۳-۲ روش کار .....
۴۶	۱-۳-۱ اپواکسیداسیون بوسیله MPC (سری اول عناصر واسطه) ...
۴۶	۱-۳-۲ ثابت سرعت واکنش .....
۴۸	۲-۳-۲ واکنش اکسیداسیون رقابتی با آلکن ها .....
۴۹	۳-۳-۲ واکنش اکسیداسیون رقابتی بازهای نیتروژن دار .....
۴۹	۱-۴ نتایج و بحث .....
<b>۳- اثر استخلاف روی واکنش هیدروکسیلاسیون آروماتیکها</b>	
۶۴	۱-۳ مقدمه .....
۶۵	۲-۳ مواد و دستگاههای مورد نیاز .....
۶۶	۳-۳ دستور کار عمومی .....
۶۶	۱-۳-۳ سینتیک رقابتی .....

۶۶	.....	۲-۳-۳ بررسی محصولات
۶۷	.....	۴-۳ نتایج و بحث
۷۸	.....	نتیجه‌گیری
۷۹	.....	آینده‌نگری
		ضمائم
۸۰	.....	ض-۱ طیفها
۱۲۲	.....	ض-۲ فعالیتهای پژوهشی (مقالات چاپ شده)
۱۲۳	.....	منابع
۱۲۸	.....	چکیده اังلیسی

## فهرست شکلها

صفحه

- ۲ شکل ۱-۱ حلقه پرفین و فتالوسیانین (ترابنزو ترا آز اپرفین).
- ۵ شکل ۱-۲ طیف جذبی UV/Vis (انعکاسی با نور پلازیزه) پلی مرفهای CuPc.
- ۵ شکل ۱-۳ آرایش صفحات در پلی مرفهای  $\alpha$  و  $\beta$  CuPc.
- ۶ شکل ۱-۴ طیف جذبی UV/Vis کمپلکس  $MnPc(im)_2$  در کلروفرم.
- ۷ شکل ۱-۵ ترازهای انرژی پرفیرین و فتالوسیانین.
- ۹ شکل ۱-۶ طیف مادون قرمز پلی مرف  $\alpha$  فتالوسیانینهای . Ni, Co, Fe, Cu, Zn, Mg,  $H_2$ .
- ۱۰ شکل ۱-۷ روشاهای مختلف سنتر فتالوسیانینها.
- ۱۱ شکل ۱-۸ مکانیزم پیشنهاد شده در سنتر فتالوسیانینها.
- ۱۵ شکل ۱-۹ حفره آنزیم و انتخاب پذیری آن برای سویستراتها.
- ۱۶ شکل ۲-۱ ساختمان پروتوپورفیرین IX آهن(III) کلرید.
- ۱۸ شکل ۲-۲ چرخه کاتالیستی سیتوکروم P-450.
- ۲۰ شکل ۲-۳ ساختمان چند نوع پرفیرین متداول.
- ۲۵ شکل ۲-۴ اجزاء یک میکروویو خانگی و ساختمان مگترون.
- ۲۶ شکل ۲-۵ برش مقطع دستگاه میکروویو طراحی شده برای مطالعه واکنشها در شرایط رفلакс.
- ۴۷ شکل ۲-۶ a) نمودار تغییرات جذب بر حسب زمان مصرف DPBD با غلظت اولیه  $M = 10^{-5} \times 2/5$  بوسیله آیدوزیل بنزن ( $M = 10^{-4} \times 5/6$ ) و کاتالیست FePc و b) نمودار لگاریتم جذب بر حسب زمان.
- ۴۸ شکل ۲-۷ نمودار تغییرات جذب بر حسب زمان مصرف DPBD با غلظت اولیه  $M = 10^{-5} \times 6/5$  بوسیله آیدوزیل بنزن و کاتالیست  $C_1 = 10^{-4}$  M در حضور غلظتهای متفاوت ترانس استیبلن،  $C_2 = 2/5 \times 10^{-4}$  M،  $C_3 = 5 \times 10^{-4}$  M،  $C_4 = 1 \times 10^{-3}$  M،  $C_5 = 1/5 \times 10^{-3}$  M.

- شکل ۲-۳ نمودار ارتباط لگاریتم سرعت نسبی اپوکسیداسیون در مقابل پتانسیل بونیزاسیون آلکن (IP).  
۵۷
- شکل ۲-۴ نمودار ارتباط لگاریتم سرعت نسبی اپوکسیداسیون در مقابل پتانسیل اکسیداسیون آلکن (E<sub>1/2</sub>).  
۵۷
- شکل ۲-۵ حدواتسط احتمالی برای فتالوسیانینها.  
۵۸
- شکل ۲-۶ حدواتسطهای پیشنهاد شده برای اپوکسیداسیون توسط پرفیرینها.  
۵۹
- شکل ۲-۷ طیف جذبی UV/Vis، ۱) فتالوسیانین آهن M<sup>-۰</sup> ۳×۱۰<sup>-۰</sup> (همراه با ایمیدازول M<sup>-۴</sup> ۱/۴×۱۰<sup>-۴</sup>) ۲) ۲۰۰ م دی تیونات.  
۶۲
- شکل ۲-۸ حدواتسط پیشنهاد شده توسط پدررسون.  
۶۳
- شکل ۲-۹ نمودار تغییرات جذب بر حسب زمان مصرف DPBD با غلظت اولیه M<sup>-۰</sup> ۳/۵ بوسیله MCPBA و کاتالیست TDCPPFe<sup>III</sup>Cl<sup>-۴</sup> M<sup>-۴</sup>/۵۸×۱۰<sup>-۴</sup> در حضور غلظتها متفاوت ایزول به ترتیب a=۰/۰×۱۰<sup>-۳</sup> M<sup>-۰</sup>، b=۱/۸×۱۰<sup>-۳</sup> M<sup>-۰</sup>، c=۰/۴×۱۰<sup>-۳</sup> M<sup>-۰</sup>، d=۱/۱×۱۰<sup>-۳</sup> M<sup>-۰</sup> ۱۵ ثانیه اول بروند یابی شده است.  
۶۷
- شکل ۲-۱۰ نمودار ارتباط log k<sub>rel</sub> و مقادیر ۵.  
۷۳
- شکل ۲-۱۱ نمودار ارتباط log k<sub>rel</sub> و مقادیر ۵.  
۷۴
- شکل ۲-۱۲ مکانیسمهای پیشنهاد شده در هیدروکسیلاسیون آروماتیکها توسط آنزیم سیتوکرم P-450.  
۷۵
- شکل ۲-۱۳ مکانیسم پیشنهادی در اکسایش آروماتیکها.  
۷۷
- شکل ض-۱ طیف جذبی (UV/Vis) پالادیم فتالوسیانین در اسید سولفوریک.  
۸۱
- شکل ض-۲ طیف مادون قرمز (IR) فتالوسیانین پالادیم در KBr.  
۸۲
- شکل ض-۳ طیف جرمی پالادیم فتالوسیانین.  
۸۳
- شکل ض-۴ طیف جذبی (UV/Vis) پلاتین فتالوسیانین در اسید سولفوریک.  
۸۴
- شکل ض-۵ طیف مادون قرمز (IR) فتالوسیانین پلاتین در KBr.  
۸۵
- شکل ض-۶ طیف جرمی پلاتین فتالوسیانین.  
۸۶
- شکل ض-۷ طیف جذبی (UV/Vis) بیس پیریدین روتینیم فتالوسیانین در کلروفرم.  
۸۷

- شکل ض-۸- طیف مادون قرمز (IR) بیس پیریدین روتینیم فتالو سیانین در KBr .  
۸۸
- شکل ض-۹- طیف جرمی بیس پیریدین روتینیم فتالو سیانین.  
۸۹
- شکل ض-۱۰- طیف جذبی (UV/Vis) تراسولفو فتالو سیانین مس در DMF ..  
۹۰
- شکل ض-۱۱- طیف مادون قرمز (IR) تراسولفو فتالو سیانین مس در KBr .  
۹۱
- شکل ض-۱۲- طیف جذبی (UV/Vis) تراسولفو فتالو سیانین نیکل در DMF ..  
۹۲
- شکل ض-۱۳- طیف مادون قرمز (IR) تراسولفو فتالو سیانین نیکل در KBr .  
۹۳
- شکل ض-۱۴- طیف جذبی (UV/Vis) تراسولفو فتالو سیانین کبالت در DMF ..  
۹۴
- شکل ض-۱۵- طیف مادون قرمز (IR) تراسولفو فتالو سیانین کبالت در KBr .  
۹۵
- شکل ض-۱۶- طیف جذبی (UV/Vis) تراسولفو فتالو سیانین پالادیم در DMF ..  
۹۶
- شکل ض-۱۷- طیف مادون قرمز (IR) تراسولفو فتالو سیانین پالادیم در KBr .  
۹۷
- شکل ض-۱۸- طیف جذبی (UV/Vis) تراسولفو فتالو سیانین پلاتین در DMF ..  
۹۸
- شکل ض-۱۹- طیف مادون قرمز (IR) تراسولفو فتالو سیانین پلاتین در KBr .  
۹۹
- شکل ض-۲۰- طیف جذبی (UV/Vis) ترانیترو فتالو سیانین کبالت در DMF ..  
۱۰۰
- شکل ض-۲۱- طیف مادون قرمز (IR) ترانیترو فتالو سیانین کبالت در KBr .  
۱۰۱
- شکل ض-۲۲- طیف جذبی (UV/Vis) ترانیترو فتالو سیانین نیکل در DMF ..  
۱۰۲
- شکل ض-۲۳- طیف مادون قرمز (IR) ترانیترو فتالو سیانین نیکل در KBr .  
۱۰۳
- شکل ض-۲۴- طیف جذبی (UV/Vis) ترانیترو فتالو سیانین مس در DMF ..  
۱۰۴
- شکل ض-۲۵- طیف مادون قرمز (IR) ترانیترو فتالو سیانین مس در KBr .  
۱۰۵
- شکل ض-۲۶- طیف جذبی (UV/Vis) ترانیترو فتالو سیانین منگنز در DMF ..  
۱۰۶
- شکل ض-۲۷- طیف مادون قرمز (IR) ترانیترو فتالو سیانین منگنز در KBr .  
۱۰۷
- شکل ض-۲۸- طیف جذبی (UV/Vis) ترانیترو فتالو سیانین آهن در DMF ..  
۱۰۸
- شکل ض-۲۹- طیف مادون قرمز (IR) ترانیترو فتالو سیانین آهن در KBr .  
۱۰۹
- شکل ض-۳۰- طیف جذبی (UV/Vis) ترانیترو فتالو سیانین پالادیم در DMF ..  
۱۱۰

شکل ض-۳۱- طیف مادون قرمز (IR) ترانیتروفتالوسیانین پالادیم در KBr.

شکل ض-۳۲- طیف جذبی UV/Vis آیدوزیل بتزن ( $3 \times 10^{-9} M$ )،  $(4 \times 10^{-9} M)$  و فالتالوسیانین آهن

$$(1/1 \times 10^{-9} M)$$

شکل ض-۳۳- نمودار تغییرات جذب بر حسب زمان مصرف DPBD با غلظت اولیه  $M 5 \times 10^{-9}$  بوسیله آیدوزیل بتزن ( $5/6 \times 10^{-4} M$ ) و کاتالیست  $M FePc 1/1 \times 10^{-9}$  در حضور غلظتهای متفاوت استرین.

$$C_6 = 28 \times 10^{-4}, C_5 M = 21 \times 10^{-4} M, C_4 = 14 \times 10^{-4} M, C_3 = 7 \times 10^{-4} M, C_2 = 3/5 \times 10^{-4}, C_1 = 1/10$$

شکل ض-۳۴- نمودار تغییرات جذب بر حسب زمان مصرف DPBD با غلظت اولیه  $M 5 \times 10^{-9}$  بوسیله آیدوزیل بتزن ( $5/6 \times 10^{-4} M$ ) و کاتالیست  $M FePc 1/1 \times 10^{-9}$  در حضور غلظتهای متفاوت سیکلوهگزن.

$$C_5 = 41/6 \times 10^{-4} M, C_4 = 33/7 \times 10^{-4} M, C_3 = 5/8 \times 10^{-4} M, C_2 = 7/9 \times 10^{-4}, C_1 = 1/10$$

شکل ض-۳۵- نمودار تغییرات جذب بر حسب زمان مصرف DPBD با غلظت اولیه  $M 5/6 \times 10^{-4}$  بوسیله آیدوزیل بتزن ( $5/6 \times 10^{-4} M$ ) و کاتالیست  $M FePc 1/1 \times 10^{-9}$  در حضور غلظتهای متفاوت سیکلو اکتن.

$$C_4 = 28 \times 10^{-4} M, C_3 = 16 \times 10^{-4} M, C_2 = 8 \times 10^{-4}, C_1 = 1/10$$

شکل ض-۳۶- نمودار تغییرات جذب بر حسب زمان مصرف DPBD با غلظت اولیه  $M 7/4 \times 10^{-9}$  بوسیله آیدوزیل بتزن ( $5/6 \times 10^{-4} M$ ) و کاتالیست  $M FePc 1/1 \times 10^{-9}$  در حضور غلظتهای متفاوت ۱-هگزن.

$$C_5 = 12/8 \times 10^{-3} M, C_4 = 9/6 \times 10^{-3} M, C_3 = 7/4 \times 10^{-3} M, C_2 = 3/2 \times 10^{-3}, C_1 = 1/10$$

شکل ض-۳۷- کرماتوگرام مخلوط واکنش کاتالیست ( $1 \times 10^{-9} M$ ) سیکلو اکتن ۱ و پیریدین به ترتیب صفر، ۱۰۰ و یا  $100 \mu$  برابر غلظت کاتالیست، ۵ ساعت پس از اضافه کردن ۷۶ میلی گرم آیدوزیل بتزن.

شکل ض-۳۸- کرماتوگرام مخلوط واکنش کاتالیست ( $1 \times 10^{-9} M$ ) سیکلو اکتن ۱ و ایمیدازول به ترتیب ۵ ۱۰۰ و یا  $100 \mu$  برابر غلظت کاتالیست، ۵ ساعت پس از اضافه کردن ۷۶ میلی گرم آیدوزیل بتزن.

شکل ض-۳۹- کرماتوگرام مخلوط واکنش کاتالیست ( $1 \times 10^{-9} M$ ) سیکلو اکتن ۱ و پیریدین به ترتیب ۵ ۱۰۰ و یا  $100 \mu$  برابر غلظت کاتالیست، ۵ ساعت پس از اضافه کردن ۷۶ میلی گرم آیدوزیل بتزن.

شکل ض-۴ کرماتوگرام مخلوط واکنش کاتالیست ( $M^{-1} \times 10^{-5}$ ) سیکلوواکتن ۱ و کولیدین به ترتیب ۱۰،۵ و یا ۱۰۰ برابر غلظت کاتالیست، ۵ ساعت پس از اضافه کردن ۷۶ میلی گرم آیدوزیل بتزن.

شکل ض-۵ نمودار کالیبراسیون غلظت سیکلوواکتن در مقابل پاسخ آشکارساز GC.

## فهرست جداول

صفحه

جدول ۱-۱ فرکانس خطوط جذبی طیف مادون قرمز پلیمرهای  $\alpha$  و  $\beta$  فتالو سیانینهای Ni, Co, Fe, Cu, Zn, Mg, و  $\text{H}_2$ .

جدول ۱-۱ بازده و زمان واکنش سنتز متالوفتالو سیانینهای به روش میکروویو (خشک) در مقایسه با روش کلاسیک.

جدول ۱-۲ بازده و زمان واکنش سنتز متالوفتالو سیانینهای به روش میکروویو (رفلaks) در مقایسه با روش کلاسیک.

جدول ۱-۳ نتایج حاصل از آنالیز عنصری متالوفتالو سیانینهای سنتزی در مقایسه با مقادیر محاسبه شده.

جدول ۱-۴ باندهای مهم IR متالوفتالو سیانینهای سنتزی به روش میکروویو.

جدول ۱-۵ باندهای جذبی UV/Vis متالوفتالو سیانینهای سنتزی بوسیله میکروویو.

جدول ۱-۶ داده های طیف جرمی فتالو سیانینهای پالادیم، پلاتین و روتنیم.

جدول ۱-۷ بازده اپو اکسید اسیون سیکلواکتن و سیکلوهگزن (M) بوسیله آیدوزیل بتزن کاتالیز شده با متالوفتالو سیانینهای سری اول واسطه ( $M \times 10^{-9}$ ).

جدول ۲-۱ ثابت های سرعت نسبی اپو اکسید اسیون الفینهای مختلف کاتالیز شده با فتالو سیانین آهن در مقایسه با تراکیس (II، III) کلروفنیل پرفیرین آهن.

جدول ۲-۲ بازده اپو اکسید اسیون سیکلواکتن در حضور بازهای نیتروژن دار کاتالیز شده بوسیله فتالو سیانین آهن به غلظت  $M \times 10^{-3} \times 1/8$ .

جدول ۳-۱ ثابت های سرعت نسبی اکسید اسیون ترکیبات آروماتیک مختلف با MCPBA و کاتالیست TDCPPFe<sup>III</sup>Cl.

جدول ۳-۲ محصولات اکسایش ترکیبات آروماتیک بوسیله MCPBA کاتالیز شده با  $\text{Fe}_{20}\text{TPPFe}^{\text{III}}\text{Cl}$ .

## فهرست مخففها

کاتالیست		Cat	متالوفتالوسيانين	MPC
سيتوکرم		Cyt	اكتايل پرفيرين	OEP
ا، دى فنيل بوتادى ان		DPBD	اكسيد كتنده	Ox
پتانسيل استاندارد نيم پيل		E <sub>1/2</sub>	فتالوسيانين	Pc
رزونанс اسپین الکترون		esr	فتالوسيانين دى آنيون	Pc <sup>2-</sup>
کروماتو گرافی گازى		GC	فنيل	Ph
پرفيرين آهن کلرييد		Hm	سوبيسترات آ	S <sub>a</sub>
حد واسط پرفيرين آهن اکسو		Hm=O	محصول اکسیدي سوبسترات آ	S <sub>a</sub> O
بالاترین اريتال مولکولي پر		HOMO	سوبيسترات ب	S <sub>b</sub>
حد واسط فتالوسيانين آهن اکسو		I	محصول اکسیدي سوبسترات ب	S <sub>b</sub> O
ایمیدازول		im	آشكارساز هدايت حرارتى	TCD
پتانسيل یونيزاسيون		IP	تتراکيس دى کلروفنيل پرفيرين	TDCPP
زير قرمز		IR	تترانيتوفتالوسيانين	TNPc
ثابت سرعت نسبى		k <sub>rel</sub>	تتراکيس پتافلوروفنيل پرفيرين	TPFPP
کاتيون فلزى عناصر واسطه		M <sup>2+</sup>	ترافنيل پرفيرين	TPP
متاکلروپرینزوئیک اسید		MCPBA	تراسولوفتالوسيانين	TSPc
دقیقه		min	فراينش و مرئي	UV/Vis

This block contains a large, ornate Islamic calligraphic composition. The text is written in a flowing, cursive style (Naskh) with decorative elements. At the top left, there is a cluster of small, diamond-shaped motifs. To the right, a single diamond shape sits atop a stylized cloud-like flourish. A long, sweeping line extends from the left side, ending in a large, open hook at the bottom left. Another diamond shape is positioned near the bottom right corner.

# شوفی

## فصل اول

# فتالو سیانینها

### ۱-۱ تاریخچه

اولین گزارش از مشاهده فتالو سیانینها (PC) مربوط به ۱۹۰۷ می باشد که تکرناک<sup>۱</sup> و براون<sup>۲</sup> در شرکت گاز متروپولیتن<sup>۳</sup> در مراحل تهیه ارتوسیانو بنزآمید از فتالیمید و اسید استیک یک ماده سیاه نا محلول بدست آوردند [۱] بطور مشابه در ۱۹۲۷ وان در وايد<sup>۴</sup> و ددسباخ<sup>۵</sup> در دانشگاه فرایبورگ<sup>۶</sup> از واکنش ارتودی برموبنز و سیانید مس در پیریدین ماده آبی رنگی با پایداری استثنایی و بازده ۲۳٪ بدست آوردند [۲] . اما اتفاقاتی که باعث کشف ساختار PC ها گشت از ۱۹۲۸ شروع شد. در واحد گرنج موٹ<sup>۷</sup> شرکت رنگ اسکاتلند<sup>۸</sup> که فتالیمید را از اندرید فتالیک تهیه میکردند به دلیل ترک برداشتن ظروف شیشه ای راکتور و واکنش مواد فوق با لوله استیل خارجی (پوشش ظروف شیشه ای) یک ماده آبی-سبز تولید شده بود. پس از ادغام شرکت رنگ اسکاتلند در صنایع شیمیایی ایمپریال<sup>۹</sup>، این کمپانی تصمیم به تعیین ساختار ماده رنگی جدید گرفت و نمونه را برای پرسور جوسنی<sup>۱۰</sup> به کالج سلطنتی لندن ارسال کرد و ایشان نیز برای تحقیق آن را به یک دانشجوی جدید به نام لینستید<sup>۱۱</sup> سپرد.

1) Tcherniac

2) Braun

3) Metropolitan Gas Co.

4) Vonder Weid

5) De Diesbach

6) Fribourg

7) Grangemouth

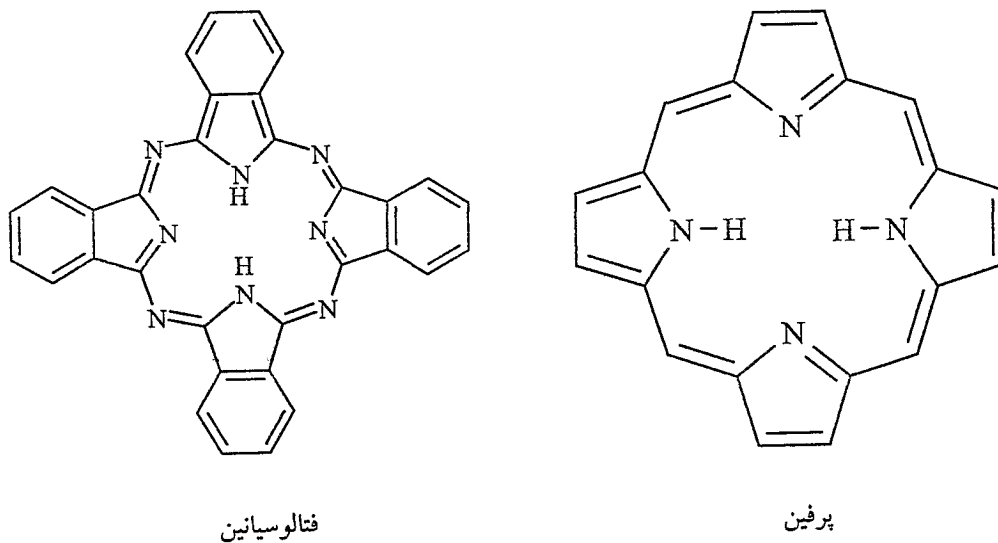
8) Scottish Dyes Co.

9) Imperial Chemical Industry

10) Jocely, F. T.

11) Linstead, P.

حاصل همکاری لینستید و شرکت ایمپریال بر روی PCها منجر به چاپ ۶ مقاله در مجله انجمن شیمی انگلستان شد که ساختار و بعضی از مشتقات PCها در آنها شرح داده شده است [۳]. از لحاظ ساختاری ساختمان فتالوسیانینها به پرفیرینها که در طبیعت یافت می‌شود بسیار نزدیک است (شکل ۱-۱). یک سیستم حلقه‌ای از چهار واحد ایزوایندولین که توسط اتمهای نیتروژن بهم وصل شده اند ساختار PCها را تشکیل میدهند و در مقایسه با پرفیرینها اتمهای چهار کربن مزو پرفیرین با نیتروژن جایگزین شده است و در حقیقت بعضی مواقع در نامگذاری PCها را ترابنزوترآزابروفین مینامند. مشابه پرفیرینها بر اساس ثوری هوکل، لینستید پیش‌بینی کرد که



شکل ۱-۱ حلقه پروفین و فتالوسیانین (تрабنزوترآزابروفین).

PCها نیز به دلیل آرایش مسطح و ۱۸ الکترونیشان باید آروماتیک باشند. همچنین لینستید نام فتالوسیانین را روی این ترکیبات گذاشت. پیشوند فتال<sup>۱</sup> از ریشه یونانی *νετα*<sup>۲</sup> به معنی روغن صخره برای تاکید روی منبع ماده اولیه این ترکیبات یعنی مشتقات اسید فتالیک انتخاب شد و سیانین<sup>۳</sup> به معنی آبی از یونانی گرفته شده است.

1) Phthal

2) Naphtha

3) Cyanine